

# 直流 直捲 電動機 制御를 위한 싸이리스터 초퍼회로의 設計 및 試作

論 文  
28~9~2

## Design and Implementacion of Thyristor Chopper Circuit for D.C Series Motor Control

李 允 鍾\* · 白 壽 鉉\*\* · 李 成 栢\*\*\*  
(Yun Jong Lee · Soo Hyun Baek · Sung Baik Lee)

### Abstract

The forming and design method of D.C thyristor chopper circuit for DC Series motor control is suggested, and the computation method of thyristor commutating element's value which makes it all the more important, is possible. Also the trigger circuit was dealt with.

In this paper, in order to control the duty cycle, the duty time is kept on constancy and variable chopping frequency was adopted. By above mentioned circuit design method, the D.C thyristor chopper circuit was implemented and tested. In this circuit, the result of D.C motor control was good and reliable. The relation between the  $K_d$  and the ratio of input-output current, or the characteristic of speed was varied lineary at the range 0.1 ~ 0.9 of duty cycle.

This confirms the fact that D.C to D.C power conversion which is the merit of chopper control is operated most likely a transformer.

### 目 次

- I. 序 論
- II. 싸이리스터 초퍼회로의 轉流理論
  - II-1 直流 싸이리스터 초퍼의 動作 原理
  - II-2 各 mode에 따른 數學的 解析
  - II-3 초핑에 따른 電壓 및 電流
- III. 싸이리스터 초퍼회로의 設計
  - III-1 초퍼 回路
  - III-2 트리거 回路
- V. 實驗裝置 및 測定結果
  - IV-1 實驗裝置
  - IV-2 各素子의 波形 測定
  - IV-3  $K_d$ 變化에 따른 電動機 制御特性
- V. 實驗結果에 대한 理論的 考察
- VI. 結 論
- 參考文獻

電力制御에 利用하는 研究가 國內外의 많은 學者들에 의하여 活潑히 進行되고 있는 實情이다. 그중에서도 싸이리스터 초퍼 回路에 의한 電動機 制御에 있어서는 轉流회로의 解析法 및 設計面에서 確固한 解決法이 이룩되지 않고 있다.

Parimelalagan과 Rajagopalan<sup>1)</sup>은 直流 他勵磁 電動機 制御를 위한 共振形 싸이리스터 초퍼를 發表한 바 있으며 Ravankar<sup>2)</sup>는 直流 초퍼 轉流회로의 設計 判定을 提示하였으며 Ray와 Datta<sup>3)</sup>는 直流 초퍼 回路에서 코일에 蓄積되는 에너지를 最小化하기 위한 設計 理論을 發表한 바 있다.

그러나 이들 學者들의 研究는 回路의 動作 信賴性보다는 蓄積 에너지나 Quarity Factor등을 考慮한 초퍼 轉流回路 解析에 重點을 두고 있으므로 效率改善에는 도움이 있을수 있으나 異常動作에 대한 對策이 未備하였던 것으로 생각되어 진다.

本 研究에서는 이러한 問題를 감안하여 直流 直捲 電動機 制御를 위한 直流 싸이리스터 초퍼 回路와 이를 構成하는 轉流콘덴서, 코일 등의 回路 定數 決定 및 設計方案을 提示하였고 아울러 理論的 解析과 이 方案을 實驗으로 立證하려는 力點을 두었다.

### I. 序 論

最近 싸이리스터 초퍼(thyristor chopper)를 直流

\* 正會員: 漢陽大 工大 教授(工博)  
\*\* 正會員: 東國大 工大助教授 \*\*\* 正會員: 光云工大 副教授  
接受日字: 1979年 7月 6日

II. 싸이리스터 초퍼 回路의 轉流 理論

싸이리스터 초퍼 回路의 動作理論을 좀 더 간편하게 解析하기 위하여 다음과 같은 假定을 둔다.

- (i) 싸이리스터의 特性은 理想的이라고 본다.
- 즉 順方向 電壓降下, 逆方向 電流, 턴언時間(turn on time)은 무시할 정도로 적다고 본다.
- (ii) 電源電壓  $E_s$ 는 負荷 變動에 의한 영향을 받지 않는다.
- (iii) 다이오드( $D_B$ 와  $D_F$ )도 理想的으로 본다.
- (iv) 초퍼가 動作되는 周波數는 負荷에 電流가 連續的으로 흐르는 값이다.
- (v) 轉流用 코일의 直流抵抗값은 없는 것으로 본다.

II-1 直流 싸이리스터 초퍼 回路의 動作原理.

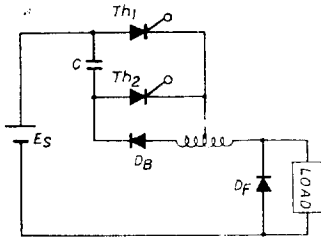


그림 1. 싸이리스터 초퍼회로  
Fig. 1. Thyristor chopper circuit

그림 1은 존스(Jones)초퍼 回路 構成으로  $Th_1$ 은 主 싸이리스터이고  $Th_2$ 는  $Th_1$ 을 오프(off)시키기 위한 補助 싸이리스터이다. 本回路의 動作狀態와 順序를 說明하는데 있어 그림 2와 같이 時刻를  $t_0 \sim t_6$ 로 區分하여 (1) 動作 區間( $t_0 \sim t_2$ ), (2) 轉流(commutation) 區間( $t_2 \sim t_4$ ), (3) 후리휠링(freewheeling) 區間( $t_4 \sim$

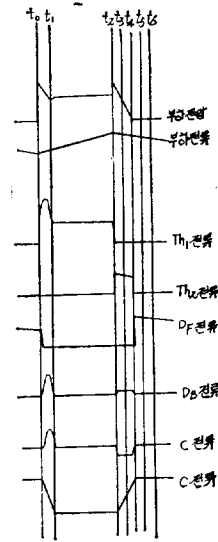


그림 2. 초퍼素子の 電壓 電流 波形  
Fig. 2. The current and voltage wave forms of the chopper elements.

$t_0$ )으로 나눈다. 時刻  $t_0$ 에서 콘덴서 A側이 正으로 充電되어 있는 狀態에서  $Th_1$ 의 게이트(gate)에 펄스 電流가 加해지면  $Th_1$ 이 턴언(turn on)되어 電源  $E_s$ 가 負荷에 加해지고  $Th_1$ 에는  $L_2$  C에 의한 共振電流가 흐르며 負荷電流가 增첩된다.

共振電流는 브로킹(blocking) 다이오드  $D_B$ 에 의하여 共振週期の 半週期동안 흐르게 되며 이期間은  $t_0 \sim t_1$ 이 된다.  $t_1$ 以後 C의 B側이 正으로 充電된후  $D_B$ 에 의하여 阻止 되므로  $t_2$ 까지 充電 狀態를 維持한다.

以上の 動作에서 초퍼回路 各素子の 電壓, 電流波形을 圖示하면 그림 2와 같으며, 各 모—드에 따른 動作 狀態는 表 1과 같이 되어진다.

表 1. 초퍼 回路의 動作모—드

Table 1. Modes of operations of chopper circuits

時間初期의 動作 mode		各素子の 動作狀態, 1: 通電 0: 不通							端子電壓	
動作區間	mode	$Th_1$	$Th_2$	$D_B$	$D_F$	$L_1$	$L_2$	$M$	$M$	$C$
,ON'일 경우	1 at $t_2$	1	0	1	0	1	1	1	$E$	$e_c(t_0)$
	2 at $t_1$	1	0	0	0	1	0	1	$E$	$-e_c(t_1)$
轉流되는 경우	3 at $t_2$	0	1	0	0	1	0	1	$E+e_c(t_1)$	$-e_c(t_2)$
	4 at $t_3$	0	1	0	0	1	0	1	$E(t_3)$	0
	5 at $t_4$	0	0	0	1	0	0	1	0	$e_c(t_4)$
'off'일 경우	6 at $t_5$	0	0	0	1	0	0	1	0	$e_c(t_5)$

II-2 各 mode에 따른 數學的 解析

싸이리스터 制御 回路的 負荷로 사용되는 直流直卷 電動機의 負荷가 變動하는 경우 電動機의 慣性 모우먼트가 變化되므로 負荷의 等價回로는 콘덴서 成分이 考慮되어야 하나 制限된 領域에서 運轉 試驗하는 것을 前提로 負荷의 等價回로는 抵抗 R과 인덕턴스 L로 이루어지는 것으로 하여 理論解析을 誘導하기로 한다.

(1) mode 1 ( $t_0 \sim t_1$ )

$t_0$ 에서 그림 1의 主싸이리스터가 턴오프되어 負荷에 흐르는 電流를  $i_{m1}$ 이라 하고 콘덴서 C에 흐르는 電流를  $i_{c1}$ 이라 하면 다음과 같은 루우프 方程式이 成立한다.

$$(L_1 + L) \frac{di_{m1}}{dt} + R_{m1} - \sqrt{L_1 \cdot L_2} \frac{di_{c1}}{dt} = E_s \dots\dots(1)$$

$$-\sqrt{L_1 \cdot L_2} \frac{di_{m1}}{dt} + \frac{1}{C} \int i_{c1} dt + L_2 \frac{di_{c1}}{dt} = -e_c(t_0) \dots\dots(2)$$

上記 聯立方程式을 풀면

$$i_{c1} = \frac{E_s}{R} \frac{1}{(1+K^2)n} e^{-\frac{t}{T_L}} - \frac{E_s}{R} \frac{1}{\sqrt{1+K^2}} \frac{1}{n} \cos\left(\frac{t}{T_c} - \phi\right) + \frac{C}{T_c} e_c(t_0) \sin \frac{t}{T_c} \dots\dots(3)$$

$$i_{m1} = \frac{E_s}{R} - \left( \frac{E_s}{R} - \frac{1}{(1+K^2)n} \frac{e_c(t_0)}{R} \right) e^{-\frac{t}{T_L}} - \frac{1}{\sqrt{1+K^2}} \frac{1}{n} \frac{e_c(t_0)}{R} \cos\left(\frac{t}{T_c} - \phi\right) \dots\dots(4)$$

이며 이때

$$T_L = \frac{L}{R}, \quad T_c = \sqrt{L_2 \cdot C}, \quad \phi = \tan^{-1} K,$$

$$K = \frac{T_L}{T_c}, \quad n = \sqrt{\frac{L_2}{L_1}}$$

여기서  $T_L \gg T_c$ 라 하면  $K \gg 1$ 이므로 式 (3)과 式 (4)는 各各 다음과 같이 되어 진다.

$$i_{m1}(t) = \frac{E}{R} [1 - e^{-\frac{t}{T_L}}] + i_L(0^-) \dots\dots(5)$$

$$i_{c1}(t) = \frac{C}{T_c} e_c(t_0) \sin \frac{t}{T_c} \dots\dots(6)$$

이때  $Th_1$ 에 흐르는 電流  $i_{Th1}$ 은  $i_{Th1} = i_{m1} + i_{c1}$ 이 되므로

$$i_{Th1} = \frac{E_s}{R} [1 - e^{-\frac{t}{T_L}}] + \frac{C}{T_c} e_c(t_0) \sin \frac{t}{T_c} \dots\dots(7)$$

$t_0$ 와  $t_1$ 사이의 時間은 充電電流  $i_{c1}$ 의 週期  $T_c$ 에 의해 定해지므로 다음과 같은 관계가 성립한다.

$$t_1 - t_0 = \pi \sqrt{L_2 \cdot C} \dots\dots(8)$$

한편 主싸이리스터에 흐르는 電流의 尖頭值  $i_{Th1}|_{peak}$ 는

$$i_{Th1}|_{peak} = i_{Th1} \Big|_{t = \frac{\pi}{2} \sqrt{L_2 C}} = \frac{E_s}{R} \left[ 1 - e^{-\frac{\pi}{2T_L} \sqrt{L_2 C}} \right] + \frac{C}{T_c} e_c(t_0) \dots\dots(9)$$

(2) mode 2 ( $t_1 \sim t_2$ )

이 區間에서는 R, L 直列回로로 구성되므로 負荷에 흐르는 電流  $i_{m2}$ 는 다음과 같다.

$$i_{m2} = \frac{E_s}{R} [1 - e^{-\frac{t}{T_L}}] \dots\dots(10)$$

(3) mode 3 ( $t_2 \sim t_3$ )

$t_2$ 에서 補助싸이리스터  $Th_2$ 가 턴오프되고 主싸이리스터  $Th_1$ 은 턴오프된다고 하면 다음과 같은 方程式이 成立한다.

$$(L + L_1) \frac{di_{m3}}{dt} + Ri_{m3} + \frac{1}{C} \int i_{m3} dt - \sqrt{L_1 \cdot L_2} \frac{di_{c3}}{dt} = E_s + e_c(t_1) \dots\dots(11)$$

$$-\sqrt{L_1 \cdot L_2} \frac{di_{m3}}{dt} + L_2 \frac{di_{c3}}{dt} = 0 \dots\dots(12)$$

위의 聯立微分方程式의 解는

$$i_{m3} = \frac{E_s + e_c(t_1)}{L} \frac{1}{\sqrt{\frac{1}{LC} - \left(\frac{1}{2T_L}\right)^2}} e^{-\frac{t}{2T_L}} \sin \sqrt{\frac{1}{LC} - \left(\frac{1}{2T_L}\right)^2} t \dots\dots(13)$$

$$i_{c3} = \frac{E_s + e_c(t_1)}{\sqrt{L_1 \cdot L_2}} \frac{1}{\sqrt{\frac{1}{LC} - \left(\frac{1}{2T_L}\right)^2}} e^{-\frac{t}{2T_L}} \sin \sqrt{\frac{1}{LC} - \left(\frac{1}{2T_L}\right)^2} t \dots\dots(14)$$

이 되며 여기서  $\frac{1}{LC} \gg \left(\frac{1}{2T_L}\right)^2$ 이 되므로

$$i_{m3} = [E_s + e_c(t_1)] \sqrt{\frac{C}{L}} e^{-\frac{t}{2T_L}} \sin \frac{1}{\sqrt{LC}} t \dots\dots(15)$$

$$i_{c3} = [E_s + e_c(t_1)] \sqrt{\frac{LC}{L_1 \cdot L_2}} e^{-\frac{t}{2T_L}} \sin \frac{1}{\sqrt{L \cdot C}} t \dots\dots(16)$$

와 같이 쓸수 있다. 이때 轉流 콘덴서 兩端에 加해져 電壓  $V_{C3}$ 는

$$V_{C3} = -[E_s + e_c(t_1)] e^{-\frac{t}{2T_L}} \frac{1}{\sqrt{L \cdot C}} \cos\left(\frac{1}{\sqrt{L \cdot C}} t + \phi\right) \dots\dots(17)$$

이 되며 이 轉流 콘덴서가 放電을 일으켜  $V_{C3}$ 가 零이 되는 時間  $t_{fd}$ 는

$$t_{fd} = \left[ \frac{\pi}{2} - \tan^{-1} \frac{2T_L}{L \cdot C} \right] \sqrt{L \cdot C} \dots\dots(18)$$

이 된다.

II-3 초핑에 따른 電流와 電壓

負荷에 加해지는 電流 및 電壓을 좀더 간편하게 취급하기 위해 그림 3에서와 같이 轉流期間을 反復週期 T에 비해 무시할 정도로 작다고 하고 負荷兩端에 加해지는 電壓波形을 矩形波라고 하면 싸이리스터  $Th_1$ 에

흐르는 電流  $i_{T_{A1}}$ 은 式 (5)에서 初期值  $i_L(0^-) = I_f e^{-\frac{t}{T_L}}$ 을 考慮하여 넣으면 다음과 같고

$$i_{T_{A1}} = \frac{E_s}{R} \left[ 1 - e^{-\frac{t}{T_L}} \right] + I_f e^{-\frac{t}{T_L}} \dots\dots\dots(19)$$

후리 윌링 다이오드에 흐르는 電流는 다음과 같다.

$$i_f = I_{T_{A1}} e^{-\frac{t}{T_L}} \dots\dots\dots(20)$$

여기서  $I_{T_{A1}}$ 은 스위치期間의 끝時間에서 負荷에 흐르는 電流를 말하며  $I_f$ 는 후리윌링 期間  $K_f \cdot T$ 의 끝時間에서 負荷에 흐르는 電流를 意味한다.

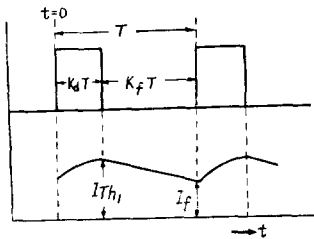


그림 3. 부하양단의 이상적인 전압, 전류파형  
Fig. 3. The ideal voltage and current wave form in load.

式 (19)와 式 (20)에  $\frac{T}{T_L}$ 를  $\alpha$ 로 置換하여 代入하면 다음式을 얻을수 있다.

$$I_{T_{A1}} = \frac{E_s}{R} [1 - e^{-\alpha K_d}] + I_f \cdot e^{-\alpha K_d} \dots\dots\dots(21)$$

$$I_f = I_{T_{A1}} e^{-\alpha K_f} \dots\dots\dots(22)$$

式 (21)과 式 (22)에서  $I_{T_{A1}}$ 과  $I_f$ 를 구하면

$$I_{T_{A1}} = \frac{E_s}{R} \left[ \frac{1 - e^{-\alpha K_d}}{1 - e^{-\alpha}} \right] \dots\dots\dots(23)$$

$$I_f = \frac{E_s}{R} \left[ \frac{e^{-\alpha K_d} - 1}{e^{-\alpha} - 1} \right] \dots\dots\dots(24)$$

이 되며 式 (23)과 式 (24)를 式 (19)와 式 (20)에 代入하여  $i_{T_{A1}}$ 과  $i_f$ 의 한週期 동안 흐르는 電流의 平均値를 구하면 다음과 같다.

$$(I_{av})_{T_{A1}} = \frac{1}{T} \int_0^{K_d T} i_{T_{A1}} \cdot dt = \frac{E_s}{R} \left[ K_d - \frac{1}{\alpha} (1 - e^{-\alpha K_d}) + \frac{1}{\alpha} \frac{(e^{-\alpha K_d} - 1)(1 - e^{-\alpha K_d})}{e^{-\alpha} - 1} \right] \dots\dots\dots(25)$$

$$(I_{av})_f = \frac{1}{T} \int_0^{K_f T} i_f \cdot dt = \frac{E_s}{R} \frac{1}{\alpha} \left[ \frac{1 - e^{-\alpha K_d}}{1 - e^{-\alpha}} \right] [1 - e^{-\alpha K_f}] \dots\dots\dots(26)$$

轉流期間을 무시한다면  $K_d + K_f = 1$ 이 되므로 負荷電流의 平均値  $(I_{av})_L$ 은

$$(I_{av})_L = (I_{av})_{T_{A1}} + (I_{av})_f = \frac{E_s}{R} K_d$$

여기서 留意해야 할 點은 負荷가 높은 인덕턴스를 가질때 變壓器作用과 같은 성질을 갖는다는 點이다. 直流電源의 脈動이 무시될 수 있으면 入力電力  $P_{in}$ 은 다음과 같이 된다.

$$P_{in} = E_s (I_{av})_{T_{A1}} \dots\dots\dots(27)$$

負荷의 인덕턴스가 크면 負荷의 脈動은 없는 것으로 看做할 수 있고 瞬時値의 電壓, 電流의 곱의 積分은 간단히 平均値의 곱으로 表示될 수 있으므로 出力電力  $P_{out}$ 은 다음과 같이 된다.

$$P_{out} = E_L (I_{av})_L \dots\dots\dots(28)$$

回路의 損失이 無視될 수 있다면 出力電力은 入力電力과 같아지므로 다음 式을 만족한다.

$$E_s (I_{av})_{T_{A1}} = E_L (I_{av})_L \dots\dots\dots(29)$$

이式은 負荷가 인덕턴스를 많이 갖는다면 變壓器와 같은 特性을 지닌다는 것을 알수 있다. 한편  $E_L = K_d \cdot E_s$  이고 이때  $K_d$ 는 週期에 대한 動作 期間의 比를 意味하며 다음과 같이 表示할 수 있다.

$$\frac{(I_{av})_{T_{A1}}}{(I_{av})_L} = K_d \dots\dots\dots(30)$$

### III. 싸이리스터 초퍼 回路의 設計

싸이리스터 초퍼 設計에 있어서 초퍼 回路, 싸이리스터의 動作을 論, 오프시켜 주기 위한 트리거 回路로 區分하여 다루기로 한다.

#### III-1 초퍼 回路

##### (1) 負荷

本 研究에서 利用한 直流直捲電動機의 電機子 抵抗  $R$  및 인덕턴스  $L$ 을 測定하여 구한다. 아울러 負荷의 時定數  $T_L$ 을 얻어낸다.

##### (2) 轉流 콘덴서의 容重 및 耐壓 決定

(a) 耐壓: 轉流 콘덴서의 端子電壓은 各 mode에서 完全한 充電이 이루어진 것으로 보아 다음 式으로 表示할 수 있다.

$$|e_c(t_0)| \approx |e_c(t_s)| \approx E_s \dots\dots\dots(31)$$

그러나 一般적으로 콘스 초퍼 回路에서는  $L$ 과 負荷의 條件에 따라 콘덴서 兩端電壓은 電源電壓  $E_s$ 보다 上昇할 경우도 있으므로 좀더 餘裕가 있는 耐壓을 가진 콘덴서를 選定하는 것이 적합하다고 判斷되여 진다.

(b) 容重의 決定: 主 싸이리스터의 턴오프 時間과 關聯되여  $t_1$ 에서 充電된 電壓이 完全放電되는 時間 즉  $(t_3 \sim t_2)$ 의 값이 主 싸이리스터의 턴오프 時間보다, 小게 設計되여야만 轉流失敗가 發生하지 않는다.

負荷의 抵抗値를  $R$ 이라고 하고 主 싸이리스터의 턴오프 時間을  $T_{off}$ 라 하면 轉流 콘덴서의 最小值  $C_{min}$  값은 다음과 같이 된다.

$$C_{min} = \frac{T_{off}}{R} \dots\dots\dots (32)$$

一般的으로  $T_{off}$ 는 接合部の 溫度, 順方向 電流의 크기, 順方向 電流의 減小率, 逆方向 電壓의 크기, 게이트 回路의 條件에 의하여 變化되는 特性表上의 값이므로 이 以上의 값을 定하면 動作이 良好하다고 볼 수 있다. 그러나  $C$ 의 값을 너무 크게 定하면 動作期間이 길어지는 결과를 招來한다.

(3)  $L_1, L_2$ 의 決定

(a)  $L_2$ 의 값

導通時( $t_0 \sim t_1$ ) 主싸이리스터에 흐르는 電流는 負荷 電流와 轉流콘덴서에 흐르는 電流의 合이 되므로 轉流 콘덴서에 흐르는 電流를 負荷 最大 電流值와 같게 하므로서 구할 수 있다. 즉 式(6)의 電流를 負荷 最大 電流值  $\frac{E_s}{R}$ 와 같게 하여  $L_2$ 를 결정하면 된다.

$$e_c \sqrt{\frac{C}{L_2}} = \frac{E_s}{R}, e_c \approx E_s \text{이므로}$$

$$L_{2min} = R^2 \cdot C \dots\dots\dots (33)$$

(b)  $L_1$ 의 값

定常 運轉中에  $L_1$ 의 값은 거의 무시할 수도 있다는 事實을 實驗的으로 確認하였다. 다시 말하면 起動時 轉流 콘덴서  $C$ 의 初期 充電이 없으면 運轉이 不可能 해짐을 알 수 있다. 고로  $L_1$ 은 起動時 負荷에 흐르는 電流의 값으로  $L_2$ 를 통해  $C$ 를 充電시켜 補助싸이리스터로서 轉流할 수 있는 充電電壓을 維持케 하는 役割만 한다고 볼 수 있다.

이때 轉流할 수 있는 充電電壓  $V$ 는 實驗을 통하여 구할 수 있다. 이 경우  $L_1$ 에 蓄積되는 에너지는 轉流 콘덴서 充電 에너지와 같다고 보면

$$\frac{1}{2} L_1 \cdot I^2 = \frac{1}{2} C V^2$$

이되여

$$L_1 = C \left( \frac{V}{I} \right)^2 \dots\dots\dots (34)$$

가 된다. 이때  $I$ 는 負荷의 最大 電流이다.

(4) 出力電壓과 漕핑 周波數 決定.

싸이리스터 制御 回路는 動作期間, 후리윙링期間 以外에 轉流時間으로 因하여서  $K_d$ 는 一般的으로 0.1~0.9의 範圍內에서 變化가 可能하다.

動作時間을  $t_d$ 라고 할 때 漕핑 周波數  $f$ 는

$$f = \frac{K_d}{t_d} \dots\dots\dots (35)$$

이 되고 最低周波數  $f_{min}$ 은 負荷 條件 즉 時定數  $T_L$ 에 대하여 다음과 같은 關係가 成立한다.

$$f_{min} \geq \frac{1}{T_L} \dots\dots\dots (36)$$

(5) 싸이리스터의 定格 算出

主싸이리스터와 補助싸이리스터에 加해지는 電壓은 다음과 같이 주어진다

$$(PFV)_{T_{R1}} = (PRV)_{T_{R1}} = (PFV)_{T_{R2}} = e_c(t_0) \approx E_s \dots (37)$$

$$(PRV)_{T_{R2}} = E + e_c(t_1) \approx 2E_s \dots\dots\dots (38)$$

主싸이리스터의 電流定格은 式(9)에 의하여 決定된다.

III-2. 트리거 回路

(1) V-F 變換回路

V-F 變換回路는 싸이리스터를 驅動시키기 위한 펄스를 發生시키고 饋還回路를 構成하는 한 要素로서 周波數 安定度를 높이기 위해 實際 動作 周波數보다 높게 動作시키고 이 周波數를 遞降하여 漕핑에 加한다. V-F 變換回路의 構成은 그림 4와 같다.

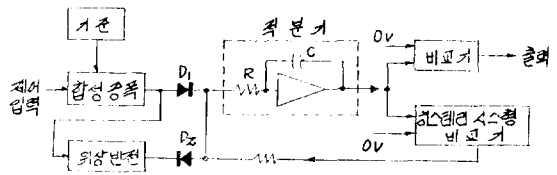


그림 4. 전압-주파수 변환기  
Fig. 4. V-F converter

그림에서 合成增幅器와 位相反轉器의 出力電壓이 零이라면 다이오드의 커튼(curtain)電壓만이 積分器의 入力에 加해진다. 이때의 電壓을  $V_{ci}$ 라 하면 積分器의 出力周波數는 入力電壓에 比例하므로  $V_{ci}$ 일때 最低周波數가 된다. 한편  $K_d$ 값의 最小, 最大値를 各各  $K_{dmin}, K_{dmax}$ 라 하면 V-F 變換器의 最大周波數를 얻기 위한 入力 電壓  $V_{imax}$ 는

$$V_{imax} = V_{ci} \frac{K_{dmax}}{K_{dmin}} \dots\dots\dots (39)$$

式(39)로 주어진  $V_{imax}$  때의 周波數를  $f_{fmax}$ 라 하면 그週期는 다음과 같다.

$$\frac{1}{f_{fmax}} = 2 \frac{E_0}{V_{imax}} R \cdot C \dots\dots\dots (40)$$

윗式에서  $E_0$ 는 積分器의 尖頭電壓이 되는 同時에 히스테리시스型 比較器의 스펙시홀드(threshold) 準位가 되는 電壓이다.

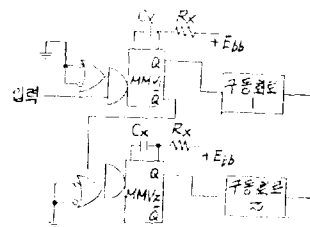


그림 5. 싸이리스터 구동회로  
Fig. 5. Driving circuit for thyristor

(2) 싸이리스터 驅動回路

式(35)로 주어진 動作期間과 모노스테이블 멀티바이브레이터(monostable multivibrator) MMV<sub>1</sub>의 Q側 펄스 出力期間이 같아져야 하므로 다음식이 成立한다.

$$t_d = C_x \cdot R_x \cdot \ln 2 \dots \dots \dots (41)$$

한편 MMV<sub>2</sub>의 出力은 主싸이리스터의 턴오프 時間보다 t<sub>d</sub>만큼 時間이 늦어져야 하므로 MMV<sub>1</sub>의 Q側 出力에서 MMV<sub>2</sub>의 入力에 連結시켜 MMV<sub>2</sub>를 動作시킨다.

MMV<sub>2</sub>의 出力펄스의 動作期間은 主싸이리스터의 定格 턴오프 時間보다 길어야 하며 最小電流期間보다 짧아야 한다.

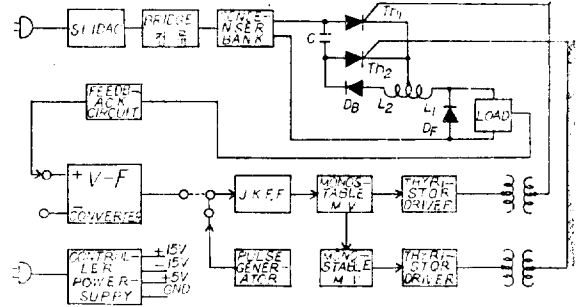


그림 6. 싸이리스터 초퍼회로  
Fig. 6. Thyristor chopper circuit.

IV. 實驗裝置 및 測定結果

IV-1. 實驗裝置

(1) 測定機器

實驗에 使用된 主要測定器는 다음과 같다.

品名	型名	製造會社名
① Oscilloscope	AN/USN-281-A	Hewlett Packard
② Frequency Counter	AN/USM-207	American Electronic
③ Universal Bridge	4260	Hewlett Packard
④ Function Generator	458A	kikusui
⑤ Digital Multimeter	TR-6355	Takeda
⑥ Audio Oscillator	AG-202	Trio
⑦ AC Millivoltmeter	1633	kikusui
⑧ Decade Capacitor	CDC-5	Cornell-Doubilier Elec. Div.

이외의 數種測定器

(2) 實驗裝置의 블록線圖

實驗裝置의 블록線圖는 그림 6과 같고 試作裝置는 그림 7과 같다.

實際 動作시킬때 일어날수있는 對策으로 負荷 短絡時 回路를 遮斷시키는 回路遮斷器(circuit breaker)를 附加시켰다.

轉流失敗를 最少로 하기위하여 L<sub>1</sub>, L<sub>2</sub>의 結合係數를 크게하였으며, 逆方向 電壓 上昇率에 의하여 후리휠링 다이오드가 破損되는 것을 防止하기 위한 手段으로 L<sub>1</sub>과 D<sub>F</sub> 사이에 인덕터를 挿入(그림 7참조)하였다.

直流直捲電動機는 定格電壓下에서 無負荷時 無拘束速度에 이르게 되는 現象을 防止하기 위하여 電動機의 速度가 3500(rpm)을 넘지 않도록 檢出遮斷裝置를 附

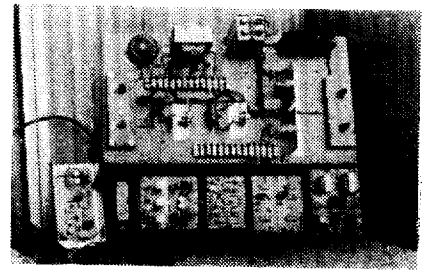


그림 7. 實驗裝置  
Fig. 7. Experimental apparatus

直流直捲電動機 制御에 使用한 초퍼회로의 各素子의 定數는 表 2와 같다.

表 2. 各素子の 定數

Table 2. The constants of components

싸이리스터 (T <sub>H1</sub> , T <sub>H2</sub> )	C228M, 평균전류 35A, PIV 600V
다이오드 (D <sub>F</sub> , D <sub>B</sub> )	IN1190A, 평균전류 40A, PIV 600V
콘덴서 (C)	콘덴서뱅크, 10~20μF, WV 600V
인덕터 (L <sub>2</sub> )	400μH~2,000μH
인덕터 (L <sub>1</sub> )	80μH~400μH

加하였다.

IV-3 K<sub>d</sub>變化에 따른 電動機의 制御特性

K<sub>d</sub>를 變化시켜 電動機를 制御特性를 變化시켜 電動機를 制御하고 測定된 結果는 그림 9와 그림 10과 같다. 여기서 殘留負荷狀態란 電動機에 外部負荷가 加해지지 않는 殘留負荷가 있는 경우를 意味하며 이때 초퍼회로는 電動機의 機械의 負荷가 걸린 狀態를 말한다.

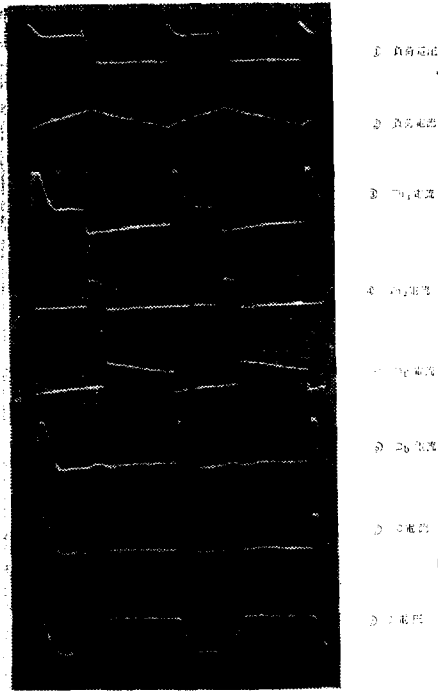


그림 8. 초퍼素子の 電壓, 電流 波形  
 Fig. 8. Voltage and current wave forms of the chopper elements

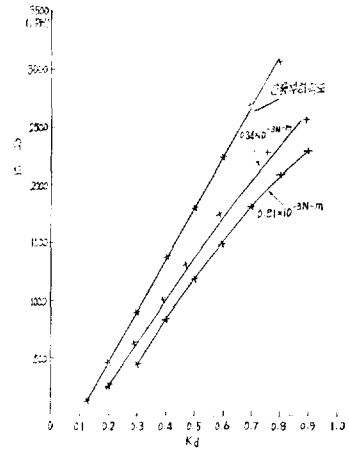


그림 10.  $K_d$ 에 대한 속도 특성  
 Fig. 10. Speed characteristics for  $K_d$

V. 實驗結果에 대한 理論的 考察

싸이리스터 초퍼 회로를 앞서 提示한 設計方案에 의하여 製作 試驗한 結果 초퍼회路的 가장 重要한 轉流動作이 良好하게 이루어 짐을 알 수 있었다.

그림 9에서 알 수 있는 바와 같이 초핑周波數의 週期  $T$ 에 대한 듀티期間  $T_d$ 의 比인  $K_d$ 의 變化에 따라 싸이리스터 초퍼의 출력전압은  $K_d$ 가 0.1~0.9의 範圍內에서 대체적으로 直線的 變化特性을 얻어 낼 수 있었다.

한편 초퍼 회路的 出力電流  $I_L$ 에 대한 入力電流  $I_s$ 에 對한 比  $I_s/I_L$ 도  $K_d$ 값 變化에 따라 直線的 變化特性이 되므로 마치 交流에서 變壓器作用과 같은 特性을 나타내므로써 싸이리스터 초퍼의 機能이 어느정도 理想的인 動作特性이 됨을 알 수 있었다.

후리휠링 電流가  $K_d$ 값 增加에 따라 대체적으로 直線的 減小를 나타내는 現象은  $K_d$ 의 값이 클수록 초퍼 회路上에 蓄積된 에너지가 減小되여 지는 것으로 分析되며 이는  $K_d$ 의 값이 클수록 効果的인 直流電力變換을 일으킬 수 있는 事實로 생각되어 진다.

實測值에서  $K_d$ 값의 範圍가 0.1~0.9까지로 除限되어 지는 理由는 싸이리스터 초퍼 회路的 轉流時間에 의해 必然的으로 發生되는 現象으로 이範圍以外에서는 초퍼 效果가 원활치 못한 動作이 됨을 알 수 있다.

그림 10은 초퍼회路 出力兩端에 直流直捲電動機를 連結하고 電動機에 負荷를 걸어  $K_d$ 變化에 따른 速度特性을 구한것으로 이 特性 또한  $K_d$ 變化에 따라 直線的 變化가 이루어짐을 나타낸 特性이다. 이때 電動機

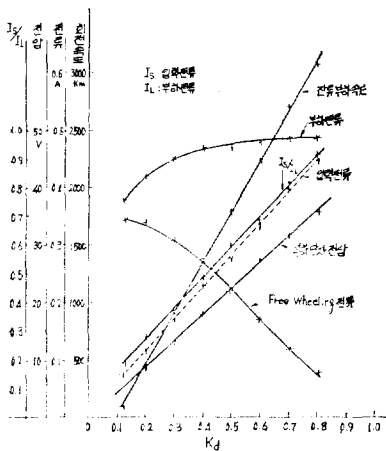


그림 9. 싸이리스터 초퍼 회路的 特性  
 Fig. 9. Characteristics of thyristor chopper circuit

에 加한 負荷는 輕負荷를 加한 경우가 되므로 直線的 變化를 가질수 있었으나 負荷가 定格負荷에 가까운 狀態에서는 電動機가 지나는 慣性 모우멘트 때문에 負荷의 等價回路 定數가 變化되어질 것이 豫想되므로 사이리스터 쇼퍼의 動作 및 電動機의 動的 特性이 새로히 考慮되어야할 것으로 判斷되어 진다. 이 方面에 對한 特性試驗 및 理論的 解析은 本 研究에 이어 계속적인 研究分析을 試圖할 예정이다.

### VI. 結 論

사이리스터 쇼퍼 回路의 게이트信號는 펄스驅動回路가 좀더 간편하며 電壓一周波數 變換器를 活用할수 있는 長點을 지닌 反復周期  $T$ 와 듀티期間  $T_d$ 의 比를 可變시키는 方法을 採用했다.

그 結果  $K_d$  값 變化에 따라 直流直卷電動機의 速度는 無負荷 및 負荷時 直線的 變化特性 즉 電壓制御가 매우 良好하게 이루어짐을 알수 있었다.

아울러 사이리스터 쇼퍼의 重要한 特性이 되는 入力 電壓, 入力電流에 대한 出力電壓, 出力電流의 關係는 實測值에서도 밝힌 바와 같이 直流電壓 變換機能(마치 變壓器와 같은 直流에너지 變換機能)을 갖는 特性을 밝혀 내었다.

사이리스터 쇼퍼 轉流回路 設計에 있어서 海外的 論文<sup>2-4)</sup>에서는 인덕턴스素子에 充電 및 蓄積되는 에너지 觀點에서 취급하는 傾向이 많이 提示되는데 이는 轉流回路 素子の 容量餘裕를 크게 選定해야 한다는 點을 實驗製作過程에서 把握할 수 있었다. 그러므로 本 연구에서는 이러한 面보다는 動作의 確實성과 信賴性을 얻기위해 轉流 콘덴서의 初期充電 및 轉流素子值를 實驗的 過程을 통하여 回路定數를 補充하도록 設計試作하여 動作의 確實성과 信賴性面에서 良好한 機能을 얻을수 있었다.

앞으로 轉流回路內에서 發生하는 電力損失이나 사이리스터 素子와 다이오드의 順方向, 逆方向抵抗等を 考慮한 細密한 解析을 할 수 있는 理論方法이 必要할 것으로 생각되어지며 本試驗에서 試作된 回路를 基本으로 直流直卷電動機의 負荷時發生되는 動的 特性을 究明하고 이에 따른 사이리스터 쇼퍼 回路의 補充을 이룩한다면 實際應用面에도 適用이 可能해질 것으로 생각되어 지는 바이다.

### 記 號

- $t$ : 時間[sec]
- $T_L$ : 負荷의 時定數[1/sec]
- $T$ : 펄스의 한 週期[sec]
- $T_c$ :  $\sqrt{L_2 \cdot C}$  [1/sec]

- $T_d$ : duty time[sec]
- $i_{mk}$ :  $k$  mode에 있어서 負荷電流의 瞬時值[A]
- $i_{ck}$ :  $k$  mode에 있어서 轉流콘덴서에 흐르는 電流의 瞬時值[A]
- $i_{T_{k1}}$ : 主사이리스터에 흐르는 電流의 瞬時值[A]
- $i_{T_{k2}}$ : 補助사이리스터에 흐르는 電流의 瞬時值[A]
- $i_f$ : Freewheeling電流의 瞬時值[A]
- $I_{av}$ : 平均值電流[A]
- $E_L$ : 負荷電壓[V]
- $L_1$ : 轉流코일中 負荷에 連結되는 코일의 인덕턴스[H]
- $L_2$ : 轉流코일中 轉流回路에 連結되는 코일의 인덕턴스[H]
- $n$ :  $\sqrt{\frac{L_2}{L_1}}$
- $\alpha$ :  $\frac{T}{T_L}$
- $K$ :  $\frac{T_L}{T_c}$
- $K_d$ :  $\frac{T_d}{T}$
- $K_f$ :  $\frac{T-T_d}{T}$
- $\phi$ :  $\tan^{-1}K$
- $R$ : 負荷抵抗值[Ω]
- $C$ : 轉流콘덴서 容量[F]
- $E_s$ : 電源電壓[V]
- $e_c$ : 轉流콘덴서 兩端에 걸리는 電壓의 瞬時值[V]

### 參 考 文 獻

- (1) R. Parimelalagan and V. Rajgopalan, "Steady-State investigation of a chopperfed dc motor with sepearte excitation", IEEE Trans. Vol. IGA-7, pp 101-108, 1971.
- (2) G.N. Revankar and Parvez K. Palsetia, "Design Ceriteria of Commutation Commutation circuit in a DC Chopper" IEEE Trans. Vol. IECI-19, pp. 86~89, August 1972.
- (3) Mita Ray and Asit K. Datta, "Optimum Design of Commutation Circuit in a Thyristor Chopper for DC Motor Control" IEEE Trans. Vol. IECI-23, pp. 129-132 May 1976.
- (4) A. K. Datta and M.M. Roy "Analysis of Thyristor Chopper with Inductive Load for dc to dc Transformer like Conversion" Indian Journal of pure & Applied physics Vol. 11, pp. 313~318 May 1973.
- (5) S.B. Dewan and David L. Duff, "Optimums



- Design of an Input Commutated Inverter for AC Motor Control" IEEE Trans. Vol. IGA-5, pp. 699-705, December 1969.
- (6) Z. Zabar and A. Alexandrovitz, "Guidelines on Adaptation of Thyristorized Switch for dc Motor Speed Control" IEEE Trans. Vol. IECI-17 pp. 10-13 February 1970.
- (7) R.S. Ramshaw: Power Electronics, Chapman and Hall, London, 1973.
- (8) M.K. Parasuram, and B. Ramaswami "A Three Phase Sine Wave Reference Generator For Thyristorised Motor Controllers" IEEE Trans. Vol. IECI-23. pp. 270-276, August 1976.
- (9) S.B. Dewan and A. Straughen, "Power Semiconductor Circuits," John Wiley & Sons, 1975.